

19. Sea  $\underline{U}$  el campo de una onda.

a) Demostrar que

$$U_i(x, y; z) = -\frac{\partial}{\partial z} \iint_{\mathbb{R}^2} U_i(x', y'; 0) \frac{e^{ikR}}{2\pi R} dx' dy',$$

para  $i \in \{x, y\}$  con  $R = \sqrt{(x-x')^2 + (y-y')^2 + z^2}$ .

b) Demostrar que para un campo en espacio libre se tiene

$$\underline{U}(x, y; z) = \frac{1}{2\pi} \nabla \times \iint_{\mathbb{R}^2} \hat{n} \times \underline{U}(x', y'; 0) \frac{e^{ikR}}{R} dx' dy',$$

donde  $\hat{n}$  es la dirección de propagación de la onda, en este caso  $\hat{n} = \hat{z}$

c) Encontrar  $\underline{U}$  si  $\underline{U}(x, y; 0) = A \delta(x, y; 0) \hat{x}$  con  $A$  una constante.

a) Para un campo escalar cualquiera  $U(x, y; z)$  tenemos que

$$U(x, y; z) = \iint_{\mathbb{R}^2} a(f_x, f_y) e^{i\alpha z} e^{i2\pi(f_x x + f_y y)} df_x df_y \text{ donde } a(f_x, f_y) \text{ es}$$

la transformada de Fourier de  $U(x, y; z)$  para cualquier rebanada, la cual está dada por

$$a(f_x, f_y) = \iint_{\mathbb{R}^2} U(x', y'; 0) e^{-i2\pi(f_x x' + f_y y')} dx' dy',$$

sustituyendo la anterior en la expresión de  $U$  se tiene

$$U(x, y; z) = \iint_{\mathbb{R}^2} U(x', y'; 0) \underbrace{\iint_{\mathbb{R}^2} e^{i2\pi[f_x(x-x') + f_y(y-y')] + i\alpha z} df_x df_y}_{G(x-x', y-y', z)} dx' dy'$$



$$\Rightarrow U(x, y; z) = \iint_{\mathbb{R}^2} U(x', y'; 0) G(x-x', y-y', z) dx' dy'$$

Por otro lado podemos hacer uso de la identidad de Weyl

$$\frac{e^{ikR}}{2\pi R} = \iint_{\mathbb{R}^2} \frac{i}{\alpha} e^{i\alpha z} e^{i2\pi[f_x(x-x') + f_y(y-y')]} df_x df_y$$

derivando respecto a  $z$ :

$$\begin{aligned} \frac{\partial}{\partial z} \left( \frac{e^{ikR}}{2\pi R} \right) &= - \iint_{\mathbb{R}^2} e^{i\alpha z} e^{i2\pi[f_x(x-x') + f_y(y-y')]} df_x df_y \\ &= G(x-x', y-y', z) \end{aligned}$$

$$\therefore U(x, y; z) = - \frac{\partial}{\partial z} \iint_{\mathbb{R}^2} U(x', y'; 0) \frac{e^{ikR}}{2\pi R} dx' dy'$$

Lo cual es válido para cualquier  $U$ , en particular  $U_x$  y  $U_y$ .

b) Como  $\hat{n} = \hat{z}$  entonces  $\hat{n} \times U(x', y'; 0)$  es constante respecto al rotacional  $\nabla \times$ , así

$$\begin{aligned} \frac{1}{2\pi} \nabla \times \iint_{\mathbb{R}^2} \hat{n} \times U(x', y'; 0) \frac{e^{ikR}}{R} dx' dy' &= - \frac{1}{2\pi} \iint_{\mathbb{R}^2} [\hat{n} \times U(x', y'; 0)] \times \nabla \frac{e^{ikR}}{R} dx' dy' \\ &= - \frac{1}{2\pi} \iint_{\mathbb{R}^2} (-U_y(x', y'; 0), U_x(x', y'; 0), 0) \times (x-x', y-y', z) \frac{e^{ikR}}{R^3} (ikR-1) dx' dy' \\ &= \left( - \iint_{\mathbb{R}^2} U_x(x', y'; 0) z \frac{e^{ikR}}{2\pi R^3} (ikR-1) dx' dy', - \iint_{\mathbb{R}^2} U_y(x', y'; 0) z \frac{e^{ikR}}{2\pi R^3} (ikR-1) dx' dy', \right. \\ &\quad \left. - \iint_{\mathbb{R}^2} [-U_x(x', y'; 0)(x-x') - U_y(x', y'; 0)(y-y')] \frac{e^{ikR}}{2\pi R^3} (ikR-1) dx' dy' \right) \end{aligned}$$



$$\begin{aligned}
&= \underbrace{\left( -\frac{\partial}{\partial z} \iint_{\mathbb{R}^2} U_x(x', y'; 0) \frac{e^{ikR}}{2\pi R} dx' dy' \right)}_{U_x(x, y; z)} - \underbrace{\left( \frac{\partial}{\partial z} \iint_{\mathbb{R}^2} U_y(x', y'; 0) \frac{e^{ikR}}{2\pi R} dx' dy' \right)}_{U_y(x, y; z)} \\
&\quad + \iint_{\mathbb{R}^2} \left[ U_x(x', y'; 0) (x-x') \frac{e^{ikR}}{2\pi R^3} (ikR-1) + U_y(x', y'; 0) (y-y') \frac{e^{ikR}}{2\pi R^3} (ikR-1) \right] dx' dy' \\
&\quad \quad \quad \frac{\partial}{\partial x} \frac{e^{ikR}}{2\pi R} \quad \quad \quad \frac{\partial}{\partial y} \frac{e^{ikR}}{2\pi R} \\
&= \left( U_x(x, y; z), U_y(x, y; z), \iint_{\mathbb{R}^2} \left[ U_x(x', y'; 0) \frac{\partial}{\partial x} \frac{e^{ikR}}{2\pi R} + U_y(x', y'; 0) \frac{\partial}{\partial y} \frac{e^{ikR}}{2\pi R} \right] dx' dy' \right).
\end{aligned}$$

Dado que es campo en espacio libre entonces  $\nabla \cdot \underline{U} = 0$

$\Rightarrow U_z(x, y; z) = - \int \left( \frac{\partial}{\partial x} U_x + \frac{\partial}{\partial y} U_y \right) dz$ , sustituyendo en la an

terior las expresiones de  $U_x$  y  $U_y$  se tiene que

$$\begin{aligned}
U_z(x, y; z) &= \int \frac{\partial}{\partial z} \iint_{\mathbb{R}^2} \left[ U_x(x', y'; 0) \frac{\partial}{\partial x} \frac{e^{ikR}}{2\pi R} + U_y(x', y'; 0) \frac{\partial}{\partial y} \frac{e^{ikR}}{2\pi R} \right] dx' dy' dz \\
&= \iint_{\mathbb{R}^2} \left[ U_x(x', y'; 0) \frac{\partial}{\partial x} \frac{e^{ikR}}{2\pi R} + U_y(x', y'; 0) \frac{\partial}{\partial y} \frac{e^{ikR}}{2\pi R} \right] dx' dy',
\end{aligned}$$

por lo tanto, la última componente es  $U_z(x, y; z)$ ,

$$\therefore \underline{U}(x, y; z) = \frac{1}{2\pi} \nabla \times \iint_{\mathbb{R}^2} \hat{n} \times \underline{U}(x', y'; 0) \frac{e^{ikR}}{R} dx' dy'.$$

c) Para  $\underline{U}(x, y; 0) = A \delta(x, y; 0) \hat{x}$  entonces

$$\underline{U}(x, y; z) = \frac{A}{2\pi} \nabla \times \iint_{\mathbb{R}^2} \delta(x, y; 0) \frac{e^{ikR}}{R} dx' dy' \hat{y} = \frac{A}{2\pi} \nabla \times \frac{e^{ikr}}{r} \hat{y}, \text{ así}$$



$$\underline{U}(x, y; 0) = \frac{A}{2\pi} \left( -\frac{\partial}{\partial z} \frac{e^{ikr}}{r}, 0, \frac{\partial}{\partial x} \frac{e^{ikr}}{r} \right) = \frac{A}{2\pi} \frac{e^{ikr}}{r^2} \left( ik - \frac{1}{r} \right) (-z, 0, x)$$

$$\therefore \underline{U}(x, y; z) = \frac{A e^{ikr}}{2\pi r} \left( ik - \frac{1}{r} \right) \hat{r} \times \hat{y}.$$

Que es la respuesta al impulso; por lo que para fuentes extendidas y con el regimen paraxial la teoría escalar describe bien el campo.



20. La expresión

$$p(x, y) = g(x, y) \otimes \left[ \text{comb}\left(\frac{x}{L_x}\right) \text{comb}\left(\frac{y}{L_y}\right) \right],$$

define una función periódica, con periodo  $L_x$  en la dirección  $x$  y  $L_y$  en la dirección  $y$ .

a) Muestra que la transformada de Fourier de  $p$  puede escribirse como:

$$P(f_x, f_y) = \sum_{n=-\infty}^{\infty} \sum_{m=-\infty}^{\infty} G\left(\frac{n}{L_x}, \frac{m}{L_y}\right) \delta\left(f_x - \frac{n}{L_x}, f_y - \frac{m}{L_y}\right),$$

donde  $G = F(g(x, y))$

b) Bosqueja la función  $p(x, y)$  cuando

$$g(x, y) = \text{rect}\left(\frac{2x}{L_x}\right) \text{rect}\left(\frac{2y}{L_y}\right),$$

y encuentra  $P(f_x, f_y)$ , realiza un bosquejo de  $P$  a lo largo de  $f_x$ .

a) Tenemos a  $p(x, y)$  como una convolución, por las propiedades de la TF se tiene que

$$P(f_x, f_y) = G(f_x, f_y) F\left[\text{comb}\left(\frac{x}{L_x}\right) \text{comb}\left(\frac{y}{L_y}\right)\right],$$

luego, el producto de comb es en diferentes variables, con la TF en cartesianas llegamos a que la TF en dos variables es el producto de dos TF en una variable:

$$P(f_x, f_y) = G(f_x, f_y) F\left[\text{comb}\left(\frac{x}{L_x}\right)\right] F\left[\text{comb}\left(\frac{y}{L_y}\right)\right],$$

dado que  $F\left[\text{comb}\left(\frac{x}{L}\right)\right](f) = L \text{comb}(Lf)$ , entonces

$$\begin{aligned} P(f_x, f_y) &= G(f_x, f_y) L_x L_y \text{comb}(L_x f_x) \text{comb}(L_y f_y) \\ &= G(f_x, f_y) \sum_{n=-\infty}^{\infty} \sum_{m=-\infty}^{\infty} L_x L_y \delta(L_x f_x - n) \delta(L_y f_y - m), \end{aligned}$$



luego  $\delta(ax-b) = \frac{1}{|a|} \delta(x-b/a)$  y en cartesianas se tiene que  $\delta(x-x_0, y-y_0) = \delta(x-x_0) \delta(y-y_0)$ , de modo que:

$$P(f_x, f_y) = G(f_x, f_y) \sum_{n=-\infty}^{\infty} \sum_{m=-\infty}^{\infty} \delta(f_x - n/L_x, f_y - m/L_y),$$

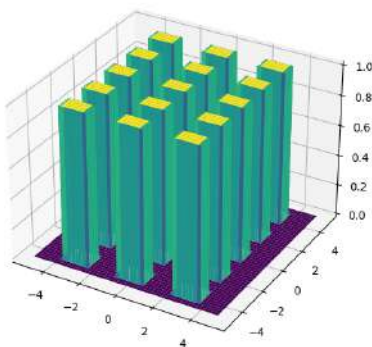
finalmente se introduce  $G$  en las sumas y como tenemos la función  $\delta$  se tiene que  $f(u) \delta(u-w) = f(w) \delta(u-w)$ , por lo tanto.

$$P(f_x, f_y) = \sum_{n=-\infty}^{\infty} \sum_{m=-\infty}^{\infty} G\left(\frac{n}{L_x}, \frac{m}{L_y}\right) \delta\left(f_x - \frac{n}{L_x}, f_y - \frac{m}{L_y}\right).$$

b) Con  $g(x, y) = \text{rect}(2x/L_x) \text{rect}(2y/L_y)$  tenemos que

$$p(x, y) = \sum_{n=-\infty}^{\infty} \sum_{m=-\infty}^{\infty} \text{rect}\left(\frac{x-nL_x}{L_x/2}\right) \text{rect}\left(\frac{y-mL_y}{L_y/2}\right),$$

de modo que su gráfica es una malla de rectángulos de medidas  $L_x/2 \times L_y/2$ .

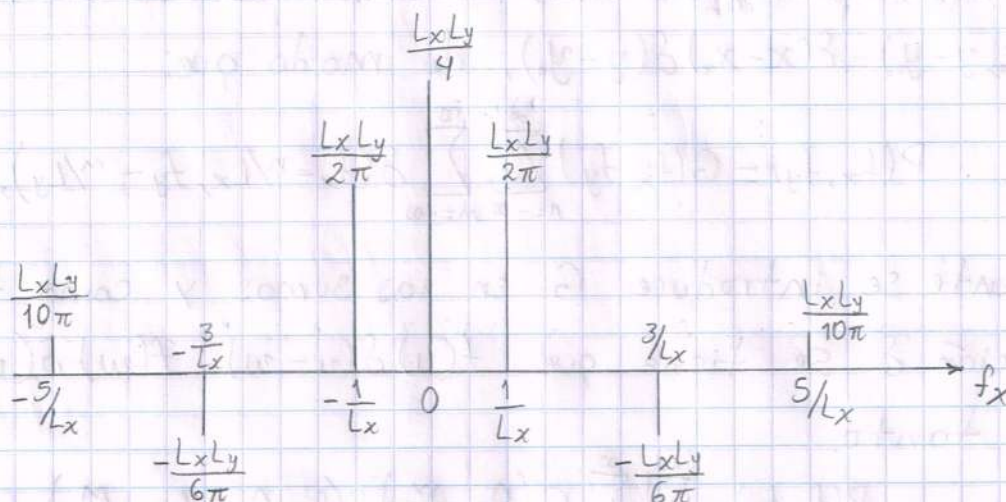


Por otra parte,  $\mathcal{F}[\text{rect}(x/L)](f) = L \text{senc}(\pi L f)$ , de modo que

$$P(f_x, f_y) = \sum_{n=-\infty}^{\infty} \sum_{m=-\infty}^{\infty} \frac{L_x L_y}{4} \text{senc}\left(\frac{n\pi}{2}\right) \text{senc}\left(\frac{m\pi}{2}\right) \delta\left(f_x - \frac{n}{L_x}, f_y - \frac{m}{L_y}\right),$$



cuyo bosquejo sería:



21. Calcula la transformada de Fourier de la siguiente función

$$g(x,y) = \left[ \frac{1}{2} + \frac{m}{2} \cos(2\pi f_0 x) \right] \text{rect}\left(\frac{x}{2w}\right) \text{rect}\left(\frac{y}{2w}\right).$$

Traza un esquema a mano de la función original  $g(x,0)$  y de  $|F\{g(x,y)\}(f_x, 0)|^2$ . Ilustra la dependencia en  $m$  de ambas funciones.

Tenemos que

$$F\{g(x,y)\} = \frac{1}{2} F\{\text{rect}(x/2w)\} F\{\text{rect}(y/2w)\}$$

$$+ \frac{m}{4} \int_{-w}^w \int_{-w}^w (e^{i2\pi f_0 x} + e^{-i2\pi f_0 x}) e^{-i2\pi(f_x x + f_y y)} dx dy$$

$$= \frac{1}{2} F\{\text{rect}(x/2w)\} F\{\text{rect}(y/2w)\} + \frac{m}{4} \left[ \int_{-w}^w e^{-i2\pi(f_x - f_0)x} dx + \int_{-w}^w e^{-i2\pi(f_x + f_0)x} dx \right] \\ \times F\{\text{rect}(y/2w)\}, \text{ entonces}$$

$$\Rightarrow F\{g(x,y)\}(f_x, f_y) = F\{\text{rect}(y/2w)\}(f_y) \left[ \frac{1}{2} F\{\text{rect}(x/2w)\}(f_x) + \right. \\ \left. \frac{m}{4} (F\{\text{rect}(x/2w)\}(f_x - f_0) + F\{\text{rect}(x/2w)\}(f_x + f_0)) \right]$$



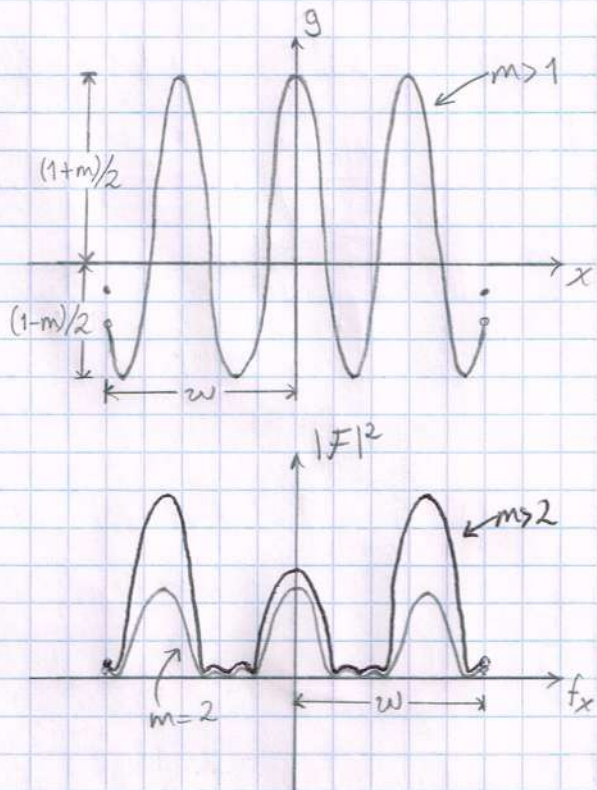
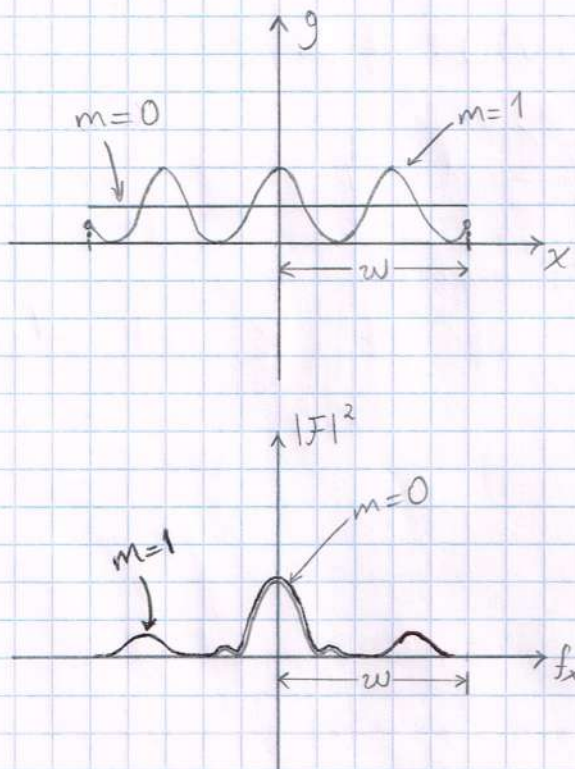
$$\therefore F\{g(x,y)\}(f_x, f_y) = 2w \operatorname{senc}(2\pi w f_y) \left[ w \operatorname{senc}(2\pi w f_x) + \frac{m}{4} \left\{ 2w \operatorname{senc}(2\pi w (f_x - f_0)) + 2w \operatorname{senc}(2\pi w (f_x + f_0)) \right\} \right]$$

Tenemos que para  $y=0$ :

$$g(x,0) = \left[ \frac{1}{2} + \frac{m}{2} \cos(2\pi f_0 x) \right] \operatorname{rect}\left(\frac{x}{2w}\right),$$

y para  $f_y=0$ :

$$F\{g(x,y)\}(f_x, 0) = 2w^2 \left\{ \operatorname{senc}(2\pi w f_x) + \frac{m}{2} [\operatorname{senc}(2\pi w (f_x - f_0)) + \operatorname{senc}(2\pi w (f_x + f_0))] \right\}$$





22. Demuestra que la función  $\Lambda(x) = \text{rect}(x) \otimes \text{rect}(x)$  es igual a la función triángulo:

$$\Lambda(x) = \begin{cases} 1 - |x|, & \text{si } |x| \leq 1, \\ 0, & \text{si } |x| \geq 1. \end{cases}$$

Calcula su TF. Traza tanto  $\Lambda(x)$  como  $F\{\Lambda(x)\}(f)$  utilizando algún programa.

$$\Lambda(x) = \text{rect}(x) \otimes \text{rect}(x) = \int_{-\infty}^{\infty} \text{rect}(u) \text{rect}(x-u) du = \int_{-1/2}^{1/2} \text{rect}(x-u) du,$$

entonces:

$$\Lambda(x) = \begin{cases} \int_{\max(x-1/2, -1/2)}^{\min(x+1/2, 1/2)} ds, & \min(x+1/2, 1/2) > \max(x-1/2, -1/2) \\ 0, & \min(x+1/2, 1/2) \leq \max(x-1/2, -1/2) \end{cases},$$

usando que  $\max(a, b) = \frac{a+b+|a-b|}{2}$  y  $\min(a, b) = \frac{a+b-|a-b|}{2}$

se llega a que:

$$\Lambda(x) = \begin{cases} \frac{x+1-|x|}{2} - \frac{x-1+|x|}{2}, & \text{si } \frac{x+1-|x|}{2} > \frac{x-1+|x|}{2} \\ 0, & \text{si } \frac{x+1-|x|}{2} \leq \frac{x-1+|x|}{2} \end{cases},$$

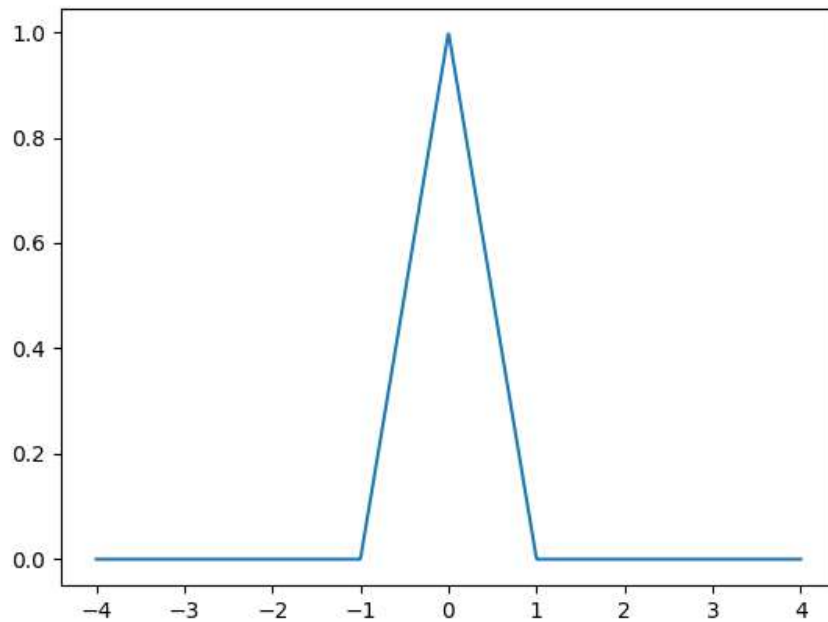
$$\therefore \Lambda(x) = \begin{cases} 1 - |x|, & \text{si } |x| \leq 1 \\ 0, & \text{si } |x| \geq 1 \end{cases}$$

Por otro lado,  $F\{\Lambda(x)\}(f) = F\{\text{rect}(x)\}(f) F\{\text{rect}(x)\}(f)$

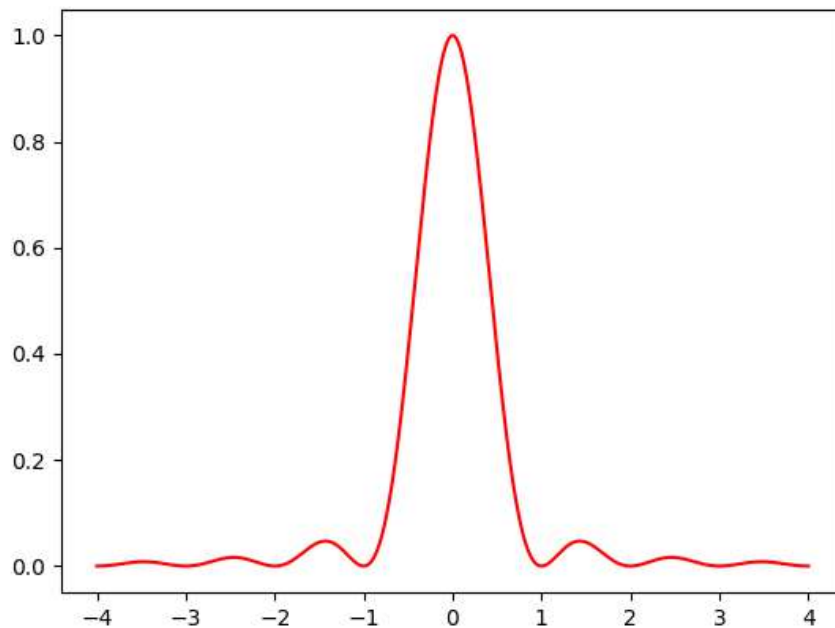
$$\therefore F\{\Lambda(x)\}(f) = \text{senc}^2(\pi f)$$



Entonces las gráficas son:



Gráfica de la función  $\Lambda(x)$



Gráfica de la transformada de Fourier



23. Muestra que la onda esférica, definida por  $e^{\pm ikr}/r$  con  $r = \sqrt{x^2 + y^2 + z^2}$ , es solución de la ecuación de Helmholtz.

La onda esférica está definida para  $r > 0$ , así que allí se trabajará. Por identidades de cálculo vectorial se tiene

$\nabla^2 \frac{e^{iakr}}{r} = e^{iakr} \nabla^2 \frac{1}{r} + 2 \nabla e^{iakr} \cdot \nabla \frac{1}{r} + \frac{1}{r} \nabla^2 e^{iakr}$ , con  $a$  una constante. Sabemos que

$$\nabla^2 \frac{1}{r} = 0, \quad \nabla e^{iakr} = iake^{iakr} \frac{\hat{r}}{r}, \quad \nabla \frac{1}{r} = -\frac{\hat{r}}{r^2} \text{ y}$$

también  $\nabla^2 e^{iakr} = -a^2 k^2 e^{iakr} + 2iak e^{iakr}/r$ , de manera que

$$\nabla^2 \frac{e^{iakr}}{r} = -2iak \frac{e^{iakr}}{r^2} - a^2 k^2 \frac{e^{iakr}}{r} + 2iak \frac{e^{iakr}}{r^2}$$

$\Rightarrow \nabla^2 \frac{e^{iakr}}{r} + a^2 k^2 \frac{e^{iakr}}{r} = 0$ , sea  $U(r) = \frac{e^{\pm ikr}}{r}$  la onda esférica, entonces para  $a = \pm 1$  tenemos

$$\nabla^2 U + k^2 U = 0,$$

que es la ecuación de Helmholtz.

24. Para una onda que viaja en una dirección que forma un ángulo pequeño respecto al eje óptico, la forma general del campo complejo puede aproximarse por:

$$U(x, y, z) \approx A(x, y, z) e^{ikz},$$

donde  $A(x, y, z)$  es una función que varía lentamente con  $z$ .

a) Prueba que para esta onda la ecuación de Helmholtz se puede simplificar a

$$\nabla_t^2 A + i2k \frac{\partial A}{\partial z} = 0,$$



donde  $\nabla_t^2 = \frac{\partial^2}{\partial x^2} + \frac{\partial^2}{\partial y^2}$  es la parte transversal del Laplaciano. Esta ecuación se conoce como la ecuación paraxial de Helmholtz.

b) Muestra que la solución (aproximación) de Fresnel es solución de la ecuación de onda paraxial.

a) Tenemos que  $\nabla^2(Ae^{ikz}) = A\nabla^2 e^{ikz} + 2\nabla A \cdot \nabla e^{ikz} + e^{ikz}\nabla^2 A$ , donde  $\nabla e^{ikz} = ik e^{ikz} \hat{z}$  y  $\nabla^2 e^{ikz} = -k^2 e^{ikz}$ , entonces

$$\nabla^2(Ae^{ikz}) = e^{ikz} \left( -k^2 A + i2k \frac{\partial A}{\partial z} + \nabla^2 A \right), \text{ entonces}$$

$$\nabla^2 A + i2k \frac{\partial A}{\partial z} = e^{-ikz} [\nabla^2(Ae^{ikz}) + k^2(Ae^{ikz})] = 0, \text{ es cero}$$

pues  $U = Ae^{ikz}$  satisface la ecuación de Helmholtz, así que  $\nabla^2 A + i2k \frac{\partial A}{\partial z}$ .

Finalmente, que  $A$  varíe lentamente con  $z$  significa que

$$\left| \frac{\partial^2 A}{\partial z^2} \right| \ll 2k \left| \frac{\partial A}{\partial z} \right|, \left| \frac{\partial^2 A}{\partial x^2} \right|, \left| \frac{\partial^2 A}{\partial y^2} \right|,$$

por lo que el término  $\partial^2 A / \partial z^2$  de  $\nabla^2$  se puede despreciar

$$\therefore \nabla_t^2 A + i2k \frac{\partial A}{\partial z} = 0.$$

b) Para la aproximación de Fresnel tenemos

$$A(x, y, z) = \frac{1}{i\lambda z} \iint_{\mathbb{R}^2} U(x', y'; 0) e^{i\frac{k}{2z} [(x-x')^2 + (y-y')^2]} dx' dy',$$

entonces

$$\frac{\partial}{\partial x} A_F = \frac{1}{i\lambda z} \iint_{\mathbb{R}^2} i\frac{k}{z} (x-x') U(x', y'; 0) e^{i\frac{k}{2z} [(x-x')^2 + (y-y')^2]} dx' dy', \text{ así}$$



$$\frac{\partial^2 A_F}{\partial x^2} = i \frac{k}{z} A_F - \frac{1}{i\lambda z} \iint_{\mathbb{R}^2} \frac{k^2}{z^2} (x-x')^2 U(x', y'; 0) e^{i \frac{k}{2z} [(x-x')^2 + (y-y')^2]} dx' dy'$$

$$\Rightarrow \nabla_t^2 A_F = i \frac{2k}{z} A_F - \frac{1}{i\lambda z} \iint_{\mathbb{R}^2} \frac{k^2}{z^2} [(x-x')^2 + (y-y')^2] U(x', y'; 0) e^{i \frac{k}{2z} [(x-x')^2 + (y-y')^2]} dx' dy',$$

luego:

$$i2k \frac{\partial A_F}{\partial z} = -i \frac{2k}{z} A_F + \frac{1}{i\lambda z} \iint_{\mathbb{R}^2} \frac{k^2}{z^2} [(x-x')^2 + (y-y')^2] U(x', y'; 0) e^{i \frac{k}{2z} [(x-x')^2 + (y-y')^2]} dx' dy',$$

entonces

$$\nabla_t^2 A_F = -i2k \frac{\partial A_F}{\partial z} \quad \therefore \nabla_t^2 A_F + i2k \frac{\partial A_F}{\partial z} = 0.$$

25. El campo de un punto emisor en  $x_0 = 2$ ,  $y_0 = 5$  y  $z_0 = 0$  que emite con una amplitud unitaria y una longitud de onda  $\lambda$  en el vacío se puede definir por  $U_1(x, y, z_0) = \delta(x-x_0)\delta(y-y_0)$ . Utilizando la solución de Rayleigh-Sommerfeld:

a) Encuentra su campo a una distancia  $z > \lambda$  para cualquier posición  $(x, y)$ .

b) Traza las curvas de fase constante (frentes de onda) en el plano  $YZ$  definido por  $x=0$

c) Toma otro punto emisor en  $-y_0$  ( $U_2(x, y, z_0) = \delta(x-x_0)\delta(y+y_0)$ ). Obtén el campo total de los dos puntos a una distancia  $z$ . Realiza un mapa de la intensidad ( $I(0, y, z) = |U_1(0, y, z) + U_2(0, y, z)|^2$ ) suponiendo  $\lambda = 1$ , a lo largo del plano  $YZ$ . Realiza el trazo para valores poco mayores a  $\lambda$  y para valores muy grandes a  $\lambda$ .

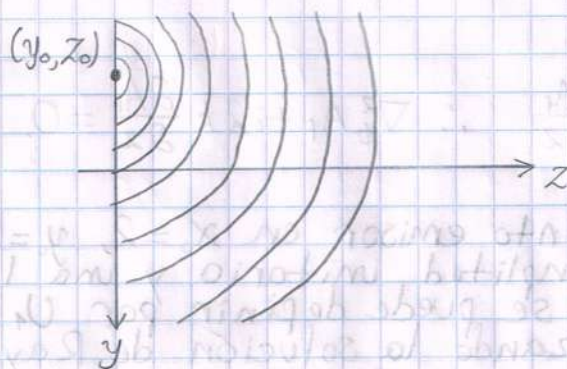
$$\begin{aligned} a) U(x, y, z) &= \iint_{\mathbb{R}^2} \delta(x'-x_0)\delta(y'-y_0) \frac{e^{ikR}}{2\pi R} \left(-ik + \frac{1}{R}\right) \frac{z}{R} dx' dy' \\ &= \frac{e^{iks}}{2\pi s} \left(-ik + \frac{1}{s}\right) \frac{z}{s}, \quad \text{con } s = \sqrt{(x-x_0)^2 + (y-y_0)^2 + z^2}; \end{aligned}$$

escrito de otra forma

$$U(x, y, z) = \frac{z}{2\pi s^2} \sqrt{k^2 + \frac{1}{s^2}} e^{i[ks - \arctan(ks)]}$$



b) Por lo anterior, los frentes de onda son las superficies que cumplen que  $ks - \arctan(ks)$  es constante, y dado que  $f(s) = ks - \arctan(ks)$  es estrictamente creciente excepto en  $s=0$ , y  $f(s) < 0$  para  $s < 0$  y  $f(s) > 0$  para  $s > 0$ , entonces  $f(s)$  es constante si y sólo si  $ks$  es constante, por lo que los frentes de onda son esféricos



c) El campo total es

$$U(x, y, z) = \frac{e^{iks_1}}{2\pi s_1} \left(-ik + \frac{1}{s_1}\right) \frac{z}{s_1} + \frac{e^{iks_2}}{2\pi s_2} \left(-ik + \frac{1}{s_2}\right) \frac{z}{s_2},$$

$$\text{con } s_1 = \sqrt{(x-x_0)^2 + (y-y_0)^2 + z^2}, \quad s_2 = \sqrt{(x-x_0)^2 + (y+y_0)^2 + z^2}.$$

Entonces la intensidad en el plano  $y/z$  es:

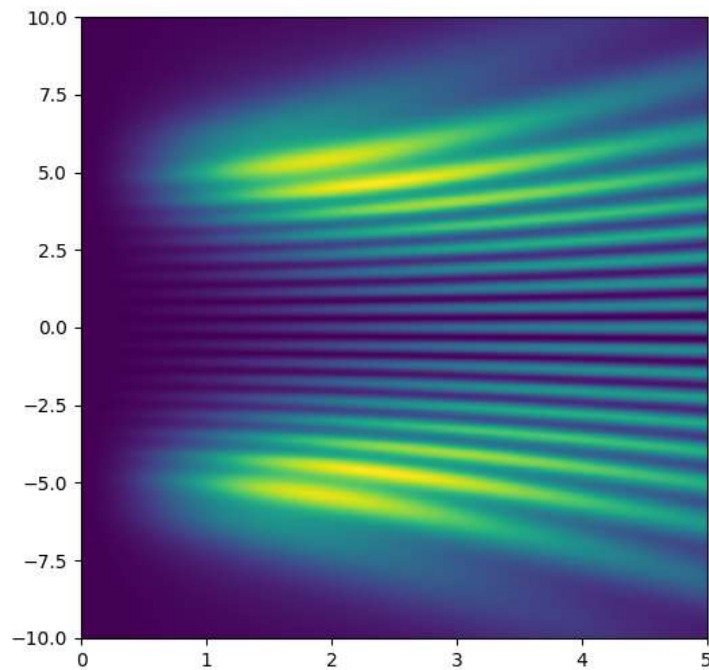
$$I(0, y, z) = \frac{z^2}{4\pi^2 s_1^4} \left(k^2 + \frac{1}{s_1^2}\right) + \frac{z^2}{4\pi^2 s_2^4} \left(k^2 + \frac{1}{s_2^2}\right) + 2 \frac{z^2}{4\pi^2 s_1^2 s_2^2} \operatorname{Re} \left\{ e^{iks_1} \left(-ik + \frac{1}{s_1}\right) e^{-iks_2} \left(ik + \frac{1}{s_2}\right) \right\}$$

$$\therefore I(0, y, z) = \frac{z^2}{4\pi^2 s_1^4} \left(k^2 + \frac{1}{s_1^2}\right) + \frac{z^2}{4\pi^2 s_2^4} \left(k^2 + \frac{1}{s_2^2}\right) + \frac{z^2}{2\pi^2 s_1^2 s_2^2} \sqrt{k^2 + \frac{1}{s_1^2}} \sqrt{k^2 + \frac{1}{s_2^2}} \cos \left[ k(s_1 - s_2) - (\arctan(ks_1) - \arctan(ks_2)) \right],$$

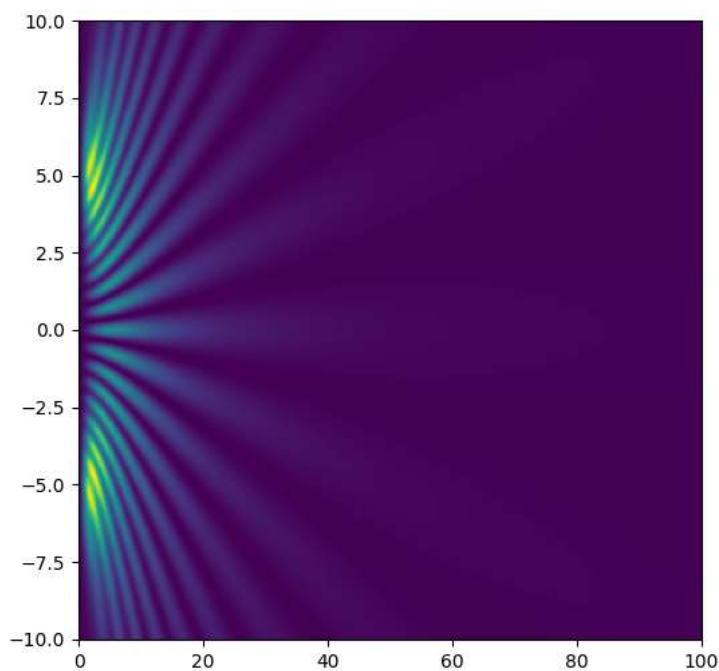
donde tiene que ser con  $x=0$  en  $s_1$  y  $s_2$ .



Los mapas de intensidad se muestran a continuación:



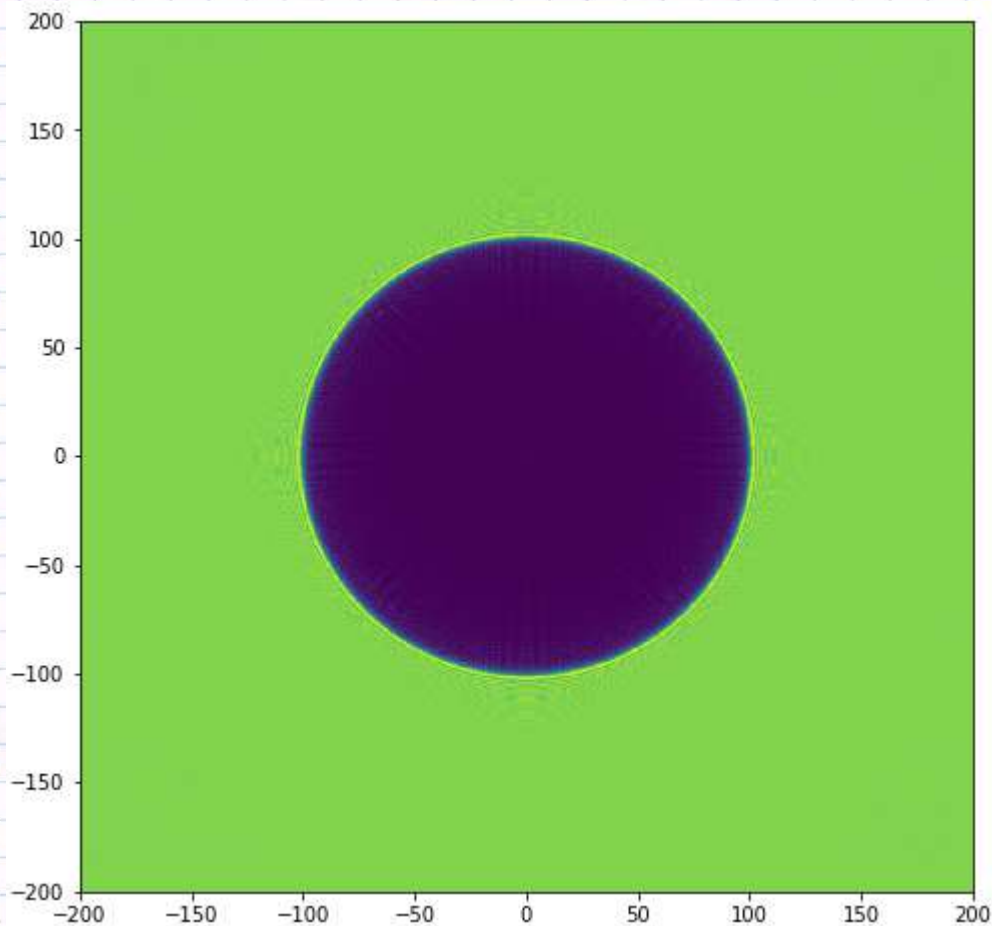
Mapa de intensidad desde  $z=0$  a  $z=5$



Mapa de intensidad desde  $z=0$  a  $z=100$

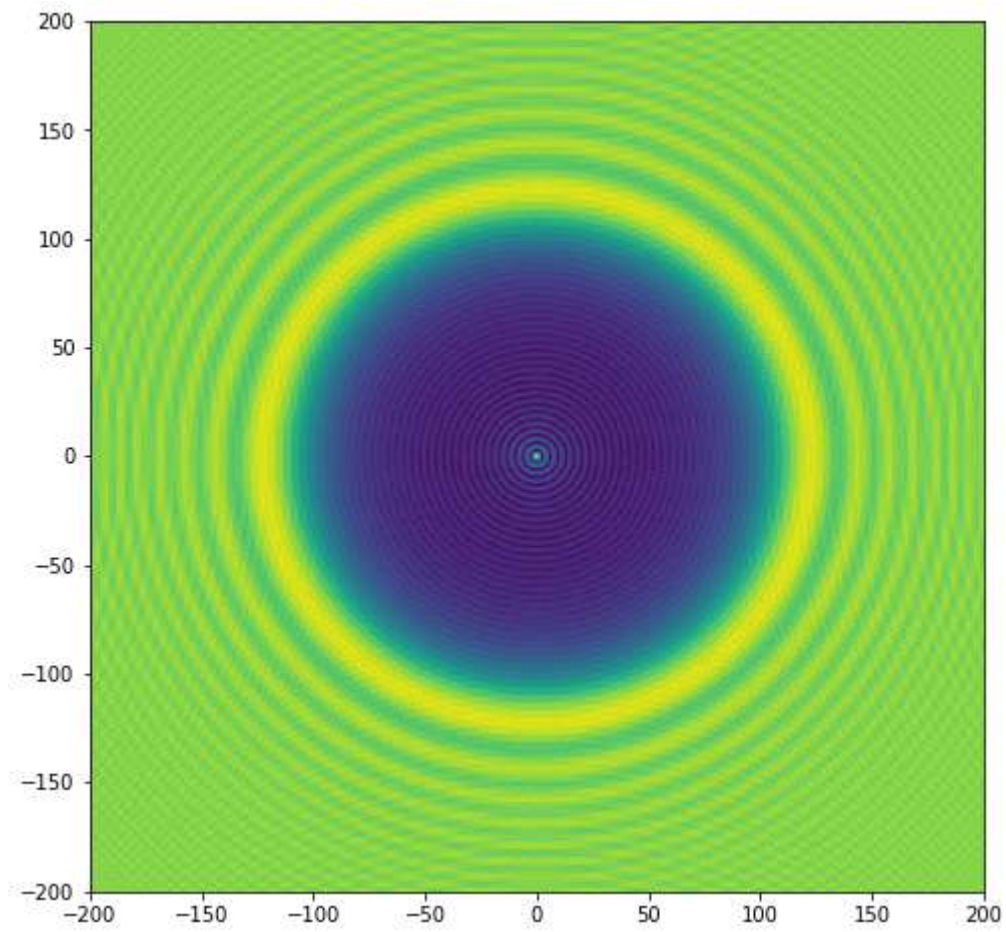


26. Utilizando la solución de Rayleigh-Sommerfeld estima la intensidad del campo difractado de una onda plana que pasa a través de un disco opaco de radio  $r_0$ . Supón  $\lambda=1$  y  $r_0=100\lambda$ . Traza un mapa de la intensidad en el plano  $YZ$  que vaya desde distancias pequeñas hasta distancias grandes, respecto a la longitud de onda.



Mapa de intensidad a una distancia  $z=5$ . Se observa que la luz sólo está presente fuera del disco opaco.





Mapa de intensidad a una distancia  $z=700$  longitudes de onda. Se observa interferencia y en el centro está el punto de Poisson-Arago.



27. Utilizando la FFT implementada en los programas, estima la TF de la función gaussiana:

$$g(x) = \frac{1}{\sqrt{\pi w}} e^{-x^2/w^2}$$

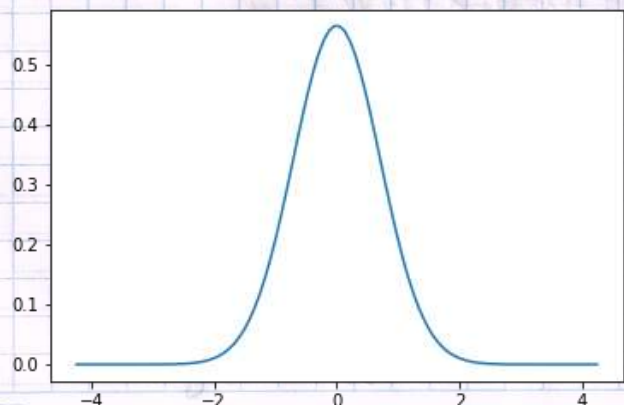
Escoge algún valor razonable para  $w$ .

(a) Utilizando un muestreo razonable compara la amplitud  $|G_n| = |\text{FFT}\{g_m\}|$  y la fase  $P_n = \text{angle}\{g_m\}$  de la transformada de Fourier numérica con los valores analíticos correspondientes. Para esto traza ambas funciones en una gráfica en función de las frecuencias. Prueba que pasa si no realizas las operaciones `ifftshift` y `fftshift`.

(b) Define los muestreos  $\Delta x$  para realizar el cálculo numérico de tal forma que los anchos de banda en frecuencias contengan el 68.27%, 95.45% y el 99.73% de la energía. Para los tres casos, el ancho de banda en el espacio defínelo de tal forma que contenga el 99.73% de la energía. Compara los resultados de las amplitudes  $|\text{FFT}(g(x))|$  con la función analítica. En cada caso señala la frecuencia de Nyquist y la región donde se observa el fenómeno conocido como aliasing.

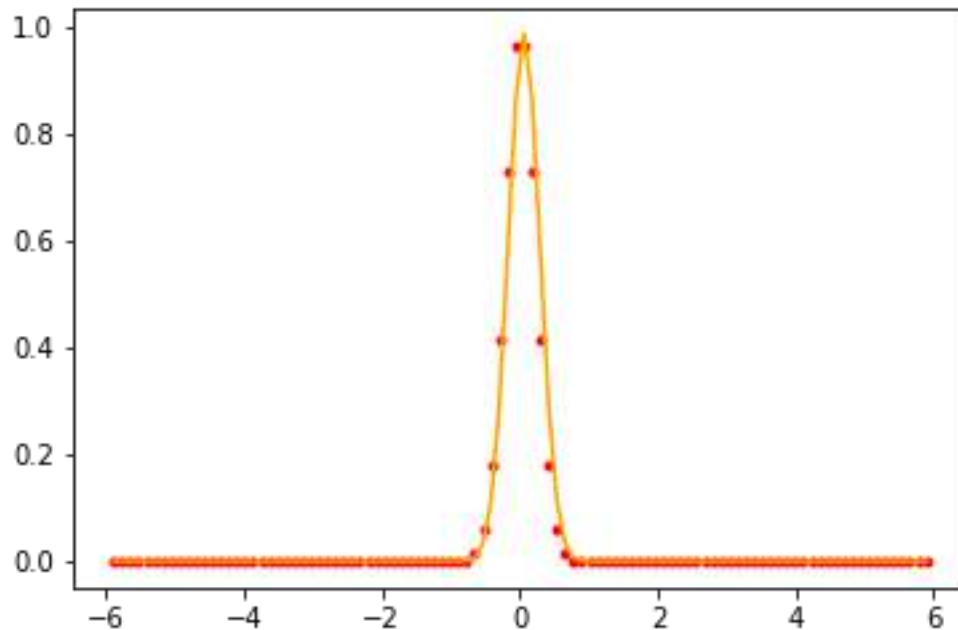
(c) Vuelve a realizar el ejercicio del enunciado anterior, pero ahora considera un ancho espacial dos veces más grande.

a) Graficamos para  $w=1$ . En azul la gráfica de  $g$ ; en naranja la TF numérica, en rojo la analítica. Se observa que FFT primero entrega las frecuencias positivas y luego las negativas (tercer gráfica), por ello es necesario usar `fftshift`.

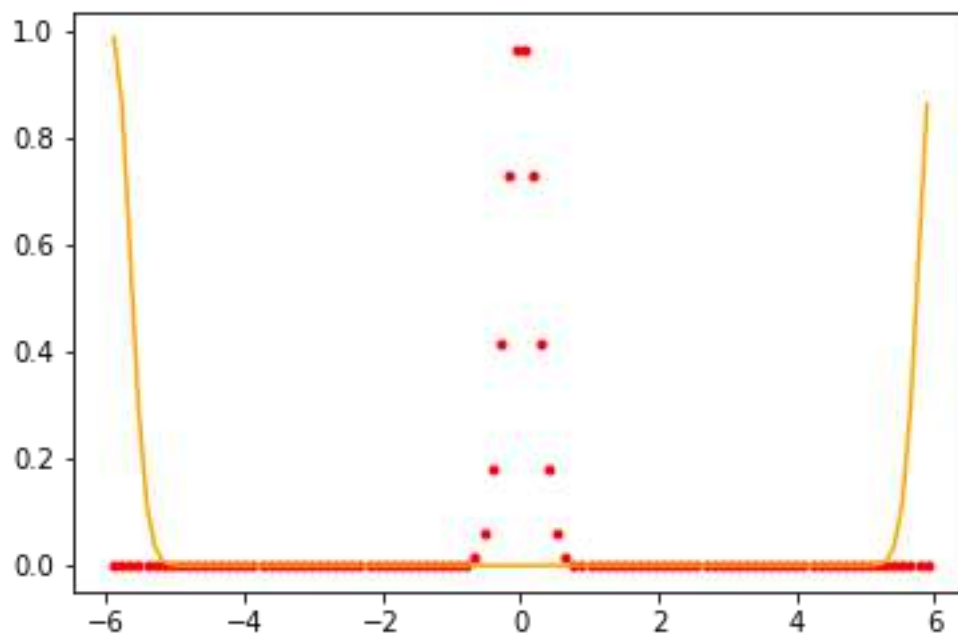


Función original





Transformada de Fourier. Los puntos rojos corresponden a la función analítica.



Transformada de Fourier sin utilizar la función `fftshift`.



28. Calcula el espectro angular de las siguientes aberturas suponiendo que son iluminadas por una onda plana que incide de forma normal de amplitud unitaria:

- Una abertura circular de radio  $r_0$ .
- Un disco circular opaco de diámetro  $r_0$ .

El espectro angular para un campo  $U$  es:

$$\tilde{U}(f_x, f_y) = \iint_{\mathbb{R}^2} U(x, y) e^{-i2\pi(f_x x + f_y y)} dx dy,$$

donde  $U(x, y)$  es el campo en la posición de la abertura/obstáculo.

a) Para una abertura circular de radio  $r_0$  se tiene que  $U(x, y) = \text{circ}(r/r_0)$  con  $r = \sqrt{x^2 + y^2}$ , entonces:

$$\tilde{U}(f_x, f_y) = \iint_{\mathbb{R}^2} \text{circ}(r/r_0) e^{-i2\pi(f_x x + f_y y)} dx dy = F\{\text{circ}(r/r_0)\}(p)$$

$$\therefore \tilde{U}(p) = \pi r_0^2 \text{bsenc}(2\pi r_0 p),$$

con  $p = \sqrt{f_x^2 + f_y^2}$

b) Para un disco opaco tenemos  $U(x, y) = 1 - \text{circ}(2r/r_0)$  pues el diámetro es  $r_0$ , entonces:

$$\tilde{U}(f_x, f_y) = \iint_{\mathbb{R}^2} [1 - \text{circ}(2r/r_0)] e^{-i2\pi(f_x x + f_y y)} dx dy$$

$$= F\{1\}(p) - F\{\text{circ}(2r/r_0)\}(p)$$

$$\therefore \tilde{U}(p) = \delta(p) - \frac{\pi r_0^2}{4} \text{bsenc}(\pi r_0 p)$$

La  $\delta$  representa el punto de Poisson-Arago.



29. Utilizando la formulación de la representación espectral angular del campo escalar, calcula numéricamente el campo propagado a la distancia  $z = 100$  mm y  $2000$  mm, del campo gaussiano definido en  $z = 0$  por

$$U(x, y; 0) = \exp\left[-\frac{(x^2 + y^2)}{\sigma^2}\right].$$

Utiliza los siguientes parámetros:  $\lambda = 0.0005$  mm y  $\sigma = 1$  mm. Considera un área y una frecuencia espacial de muestreo adecuados. Compara tu resultado con la solución analítica del haz gaussiano paraxial. Traza los perfiles de intensidad  $|U|^2$  a lo largo del eje  $x$ .

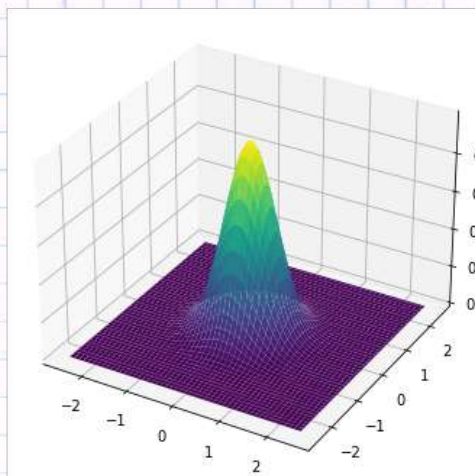
Dado el campo de entrada tenemos que la solución analítica es

$$U(x, y; z) = \frac{\sigma}{W(z)} \exp\left[-\frac{x^2 + y^2}{W^2(z)}\right] \exp\left[-i\frac{2\pi}{\lambda}z - i\frac{\pi(x^2 + y^2)}{\lambda R(z)} + i\zeta(z)\right], \text{ con}$$

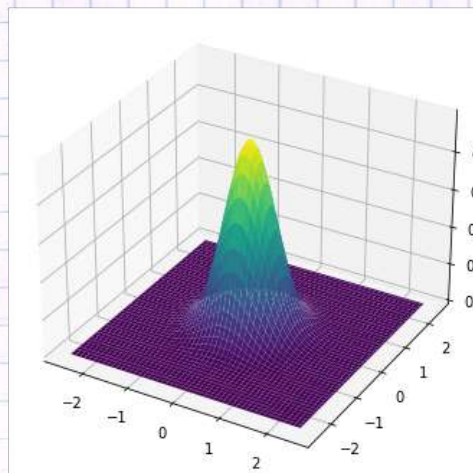
$$W(z) = \sigma \sqrt{1 + \left(\frac{\lambda z}{\pi \sigma^2}\right)^2}, \quad R(z) = z \left[1 + \left(\frac{\pi \sigma^2}{\lambda z}\right)^2\right] \text{ y } \zeta(z) = \arctan\left(\frac{\lambda z}{\pi \sigma^2}\right).$$

El ejercicio lo haremos para  $\sigma = 0.7$  mm (con  $1$  mm no se nota diferencia)

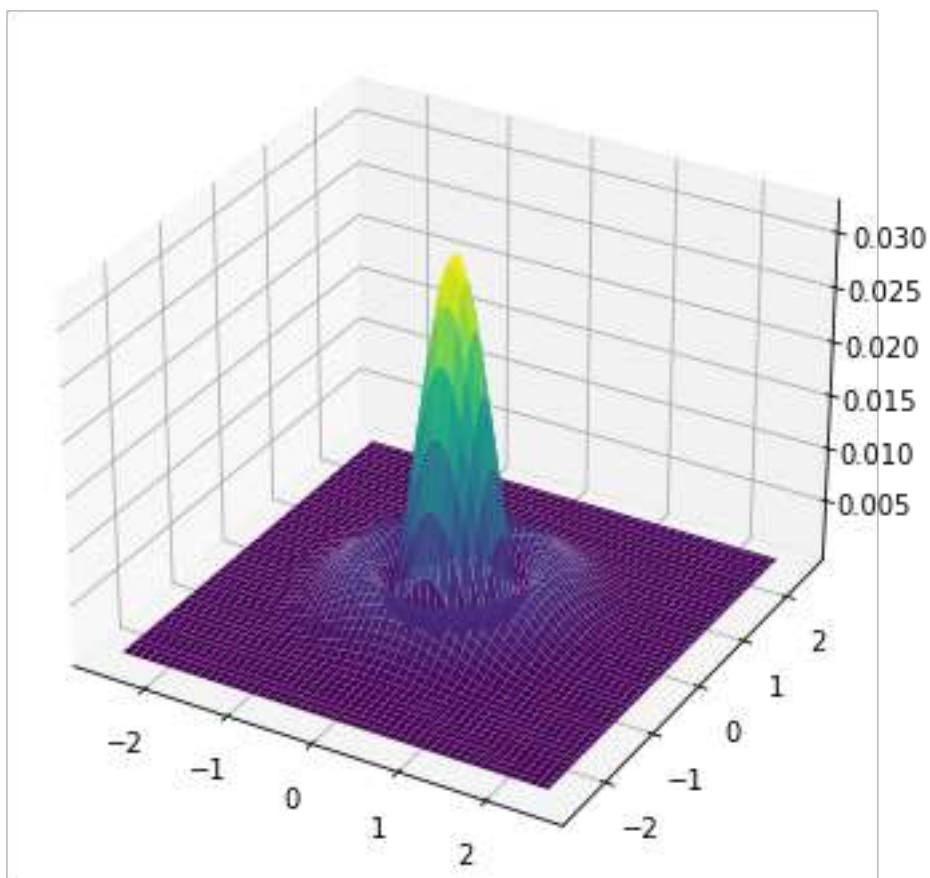
Primero para  $z = 100$  mm; con el fin de comparar el campo en  $z$  de la expresión analítica y la numérica, entonces se compararán la parte real  $|\operatorname{Re}\{U\}|$  y la parte imaginaria  $|\operatorname{Im}\{U\}|$  de la analítica y la numérica. Luego se compara el perfil de intensidad. Para  $z = 2000$  mm sólo se compara el perfil de intensidad.



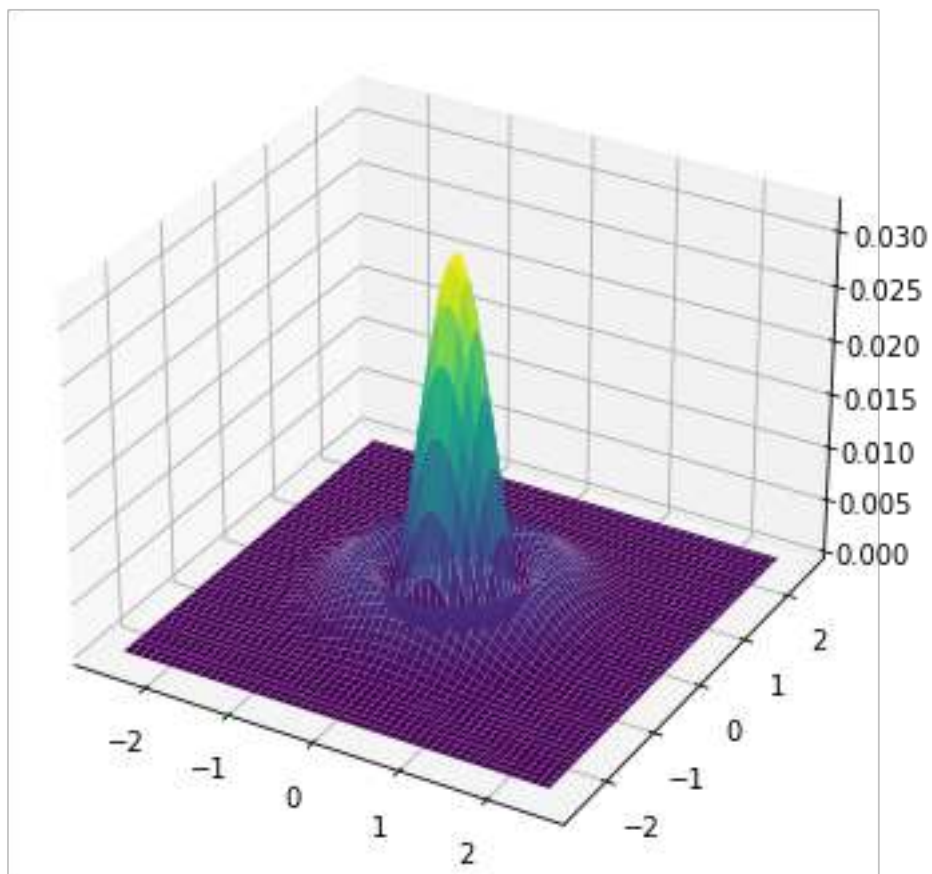
Parte real analítica



Parte real numérica

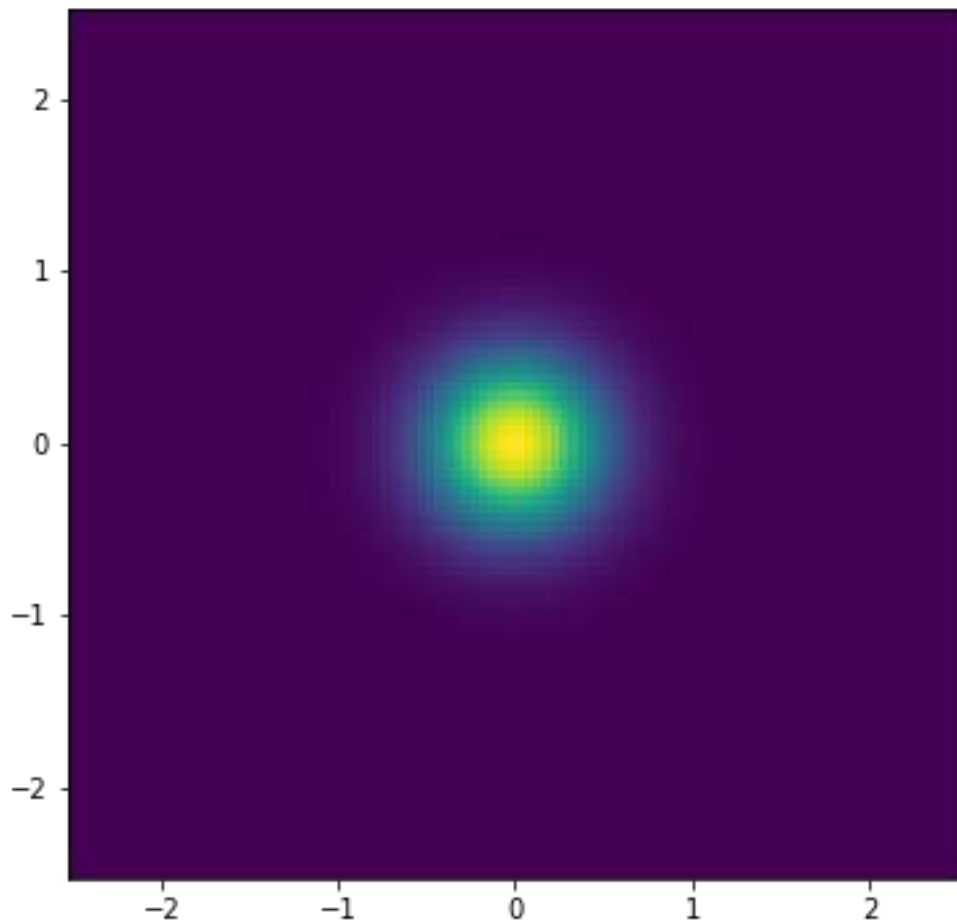


Parte imaginaria analítica

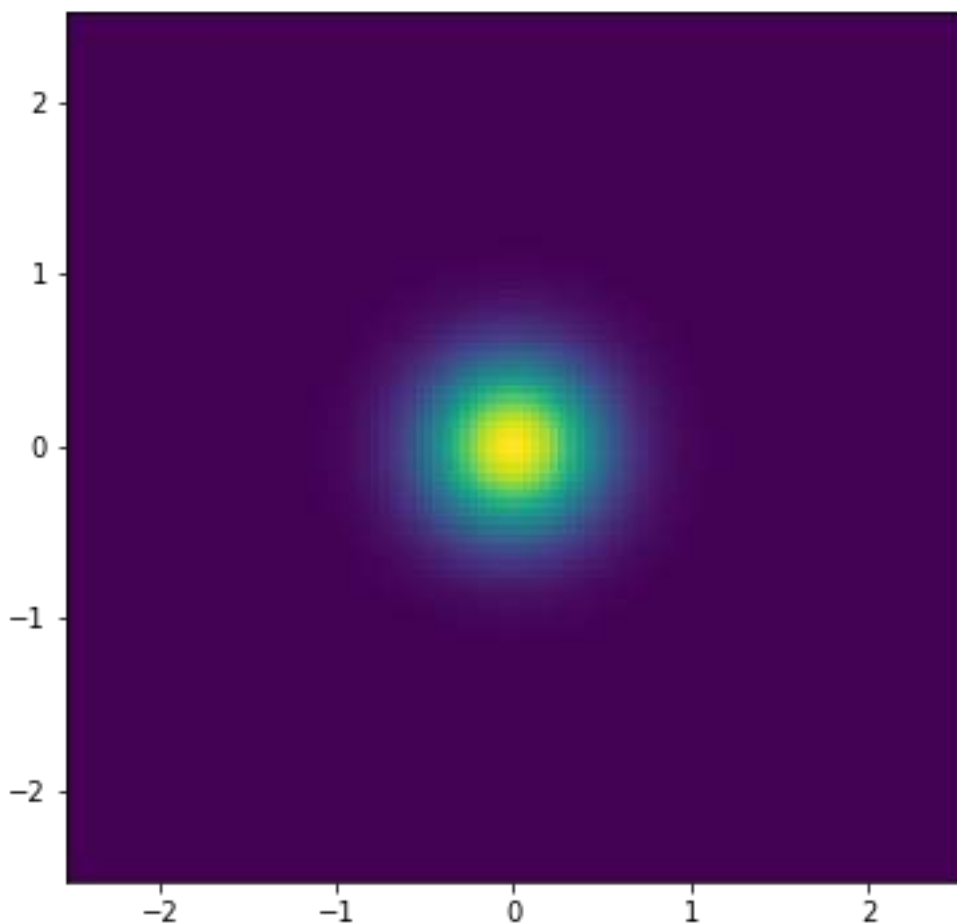


Parte imaginaria numérica

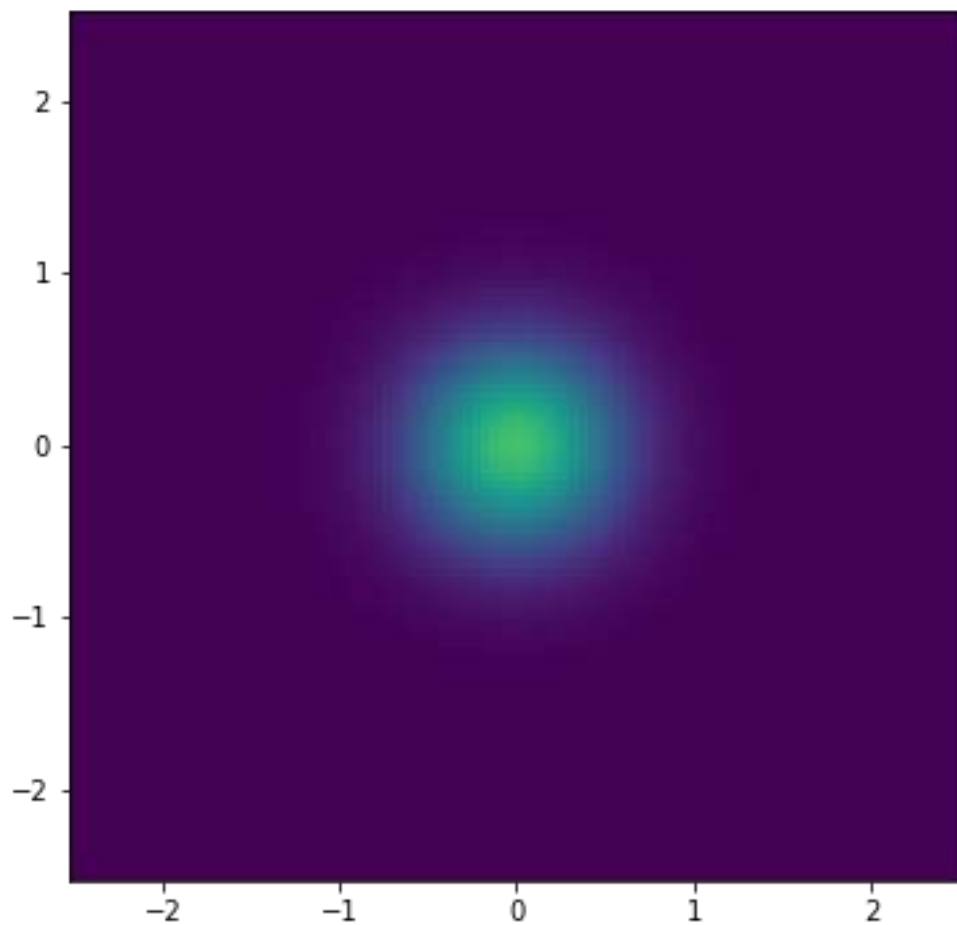




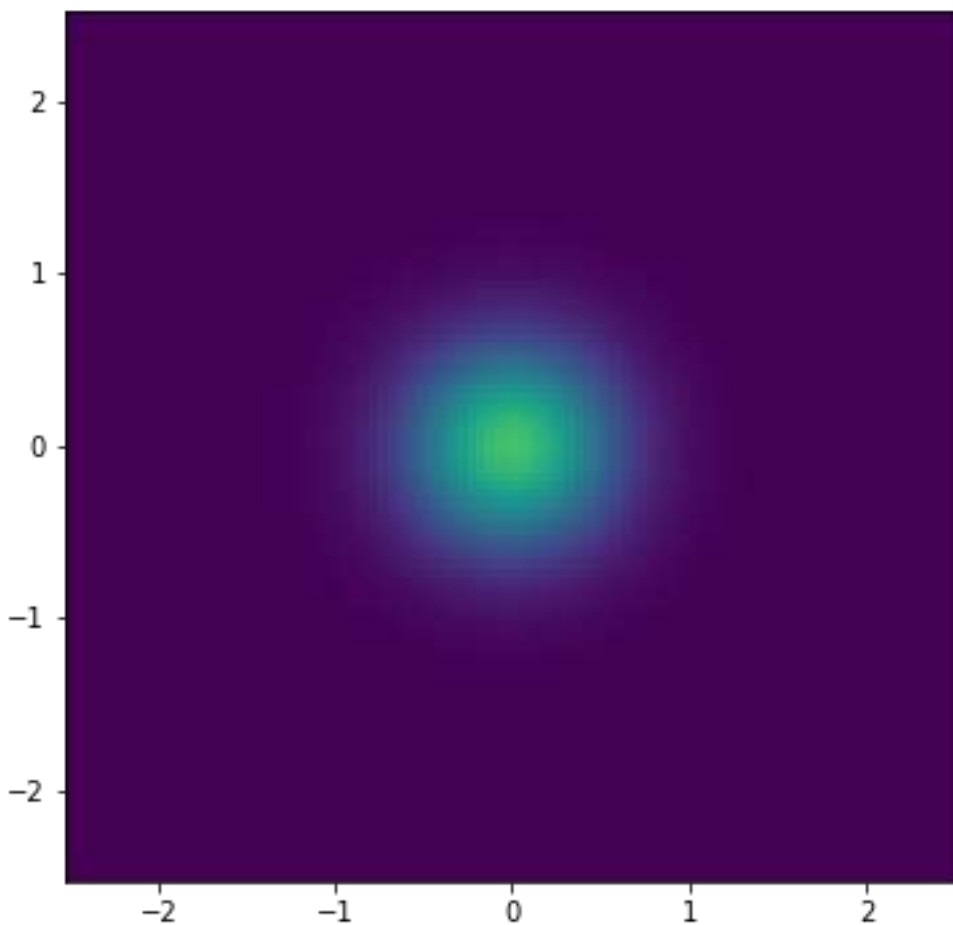
Mapa de intensidad analítica para  $z = 100\text{mm}$ .



Mapa de intensidad numérica para  $z = 100\text{mm}$ .



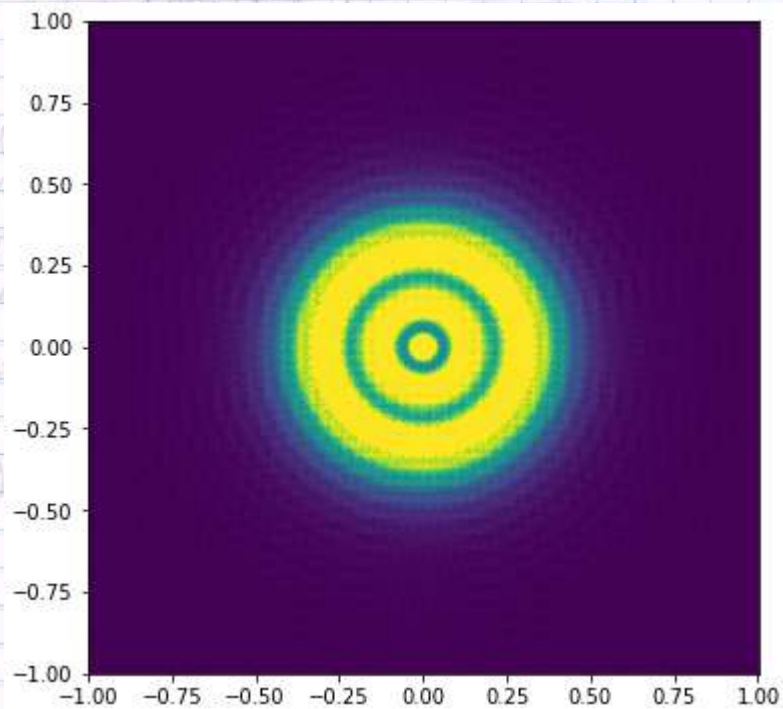
Mapa de intensidad analítica para  $z = 2000\text{mm}$ .



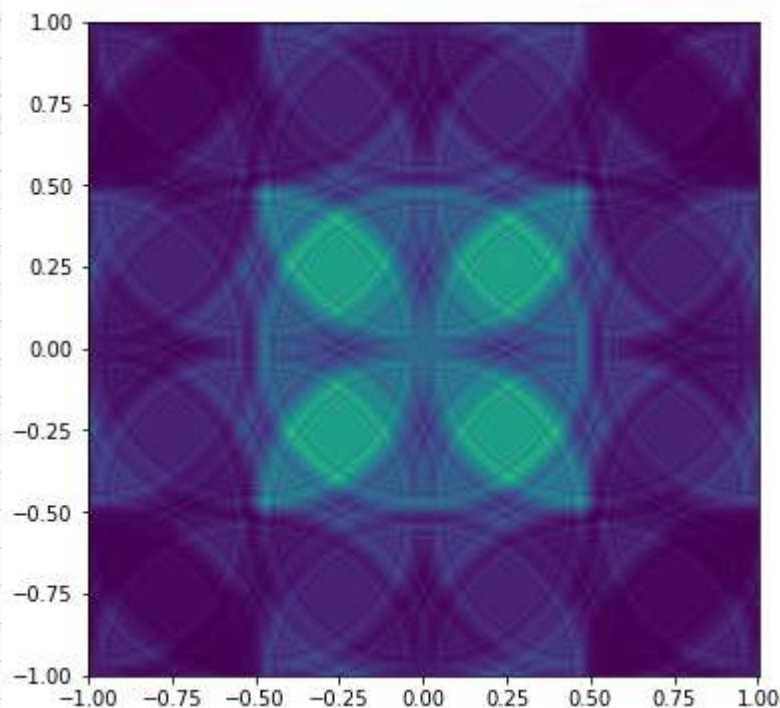
Mapa de intensidad numérica para  $z = 2000\text{mm}$ .



30. Considera una abertura circular de radio  $r_0 = 0.5 \text{ mm}$  en  $z=0$  por la cual pasa el haz del inciso anterior. Calcula nuevamente el campo en  $z = 100 \text{ mm}$  y en  $2000 \text{ mm}$ . Traza los perfiles de intensidad a lo largo del eje  $x$ .



Mapa de intensidad para  $z = 100 \text{ mm}$ .



Mapa de intensidad para  $z = 2000 \text{ mm}$ .